



ИПМ им.М.В.Келдыша РАН • Электронная библиотека

Препринты ИПМ • Препринт № 38 за 2013 г.



Луцкий А.Е., Северин А.В.

Простейшая реализация  
метода пристеночных  
функций

**Рекомендуемая форма библиографической ссылки:** Луцкий А.Е., Северин А.В. Простейшая реализация метода пристеночных функций // Препринты ИПМ им. М.В.Келдыша. 2013. № 38. 22 с. URL: <http://library.keldysh.ru/preprint.asp?id=2013-38>

**Ордена Ленина  
ИНСТИТУТ ПРИКЛАДНОЙ МАТЕМАТИКИ  
имени М.В.Келдыша  
Российской академии наук**

**А.Е. Луцкий, А.В. Северин**

**Простейшая реализация  
метода пристеночных функций**

**Москва — 2013**

**Луцкий А.Е, Северин А.В.**

Простейшая реализация метода пристеночных функций

Метод пристеночных функций — это специальное граничное условие, позволяющее повысить точность моделирования турбулентного пограничного слоя на сравнительно грубой сетке. В работе описана его минимальная реализация, которую легко использовать в любой программе вычислительной газодинамики.

**Ключевые слова:** пограничный слой, турбулентность

**Alexander Evgenjevich Lutsky, Alexander Vladimirovich Severin**

The minimal realization of the wall functions method

The wall function method is a special boundary condition, which increases the accuracy of the turbulent boundary layer modeling on the coarse grid. The minimal realization of the method, which may be used in any CFD-solver, is presented.

**Key words:** boundary layer, turbulence

Работа выполнена при поддержке Российского фонда фундаментальных исследований, проект 11-08-00269-а.

## Оглавление

1. Введение.....	3
2. Приведение логарифмического профиля к размерному виду .....	3
3. Применение в численном методе .....	6
4. Примеры расчетов.....	6
5. Выводы .....	21
6. Литература .....	22
Приложение: исходный текст подпрограммы.....	23

## 1. Введение

Моделирование пограничного слоя требует применения мелкой сетки вблизи поверхности тела. Из-за малого размера ячеек приходится выбирать малый шаг по времени, большое количество ячеек также замедляет счет. С целью добиться приемлемой точности при сравнительно грубой сетке разработаны методы пристеночных функций (wall functions) [1]. Идея состоит в том, чтобы использовать универсальность логарифмического профиля скорости. В общем случае из счетной области выделяется часть, прилегающая к телу, и в этой новой области решаются специальные уравнения. Но возможна и экономная реализация метода пристеночных функций, которая сводится к тому, чтобы в ячейках, граничащих с поверхностью тела, аппроксимировать скорость не прямой или полиномом, а специальной функцией, имеющей вид логарифмического профиля. В минимальном варианте этот особый способ аппроксимации используется только для вычисления поверхностного трения и зависящего от него потока импульса через поверхность тела, в то время как потоки вещества, импульса и энергии между ячейками вычисляются обычным способом. Таким образом, все сводится к специальному алгоритму вычисления поверхностного трения, что сильно упрощает применение метода. Но, несмотря на простоту, этот метод может быть очень эффективен и существенно повышать точность расчетов по сравнению с обычным условием прилипания.

Метод пристеночных функций имеет смысл применять на сравнительно грубых сетках, когда ближайшая к поверхности тела ячейка больше вязкого подслоя, но существует и верхний предел огрубления сетки, при котором даже этот метод не даст правильных результатов – когда ячейка выходит за пределы той части пограничного слоя, где реальный профиль скорости близок к логарифмическому.

## 2. Приведение логарифмического профиля к размерному виду

Будем считать известной среднюю скорость в прилегающей к телу ячейке.

$$U = \frac{1}{y_1} \int_0^{y_1} u(y) dy,$$

где  $y_1$  — координата верхнего края ячейки.

Согласно формуле логарифмического слоя ([3], стр. 247):

$$u = u_\tau u^+(y^+), \quad y^+ = y u_\tau / \nu$$

где  $u_\tau$  — параметр, который требуется найти,  $u^+$  — универсальная функция,  $\nu$  — молекулярная вязкость.

$$\int_0^{y_1} u(y) dy = u_\tau \int_0^{y_1} u^+(y^+) dy = u_\tau \frac{dy}{dy^+} \int_0^{y_1^+} u^+(y^+) dy^+ = \nu \int_0^{y_1^+} u^+(y^+) dy^+$$

$$Uy_1 = \nu \int_0^{y_1^+} u^+(y^+) dy^+ \quad (1)$$

Интегральное уравнение (1) — и есть задача, которую мы должны решить, чтобы установить связь между безразмерным и размерным профилями скоростей. Нам удалось исключить из него параметр  $u_\tau$ , и теперь в нем остается только одна неизвестная переменная — предел интегрирования  $y_1^+$ . Поскольку функция  $u^+(y^+)$  нам известна, задача легко решается. А зная  $y_1^+$ , получим:

$$u_\tau = \frac{y_1^+}{y_1} \nu$$

Функция  $u^+$  состоит из трех участков — вязкого подслоя, в котором зависимость  $u^+$  от  $y^+$  линейна, основного логарифмического участка и соединяющей их табличной функции, обеспечивающей плавный переход от первого участка к последнему ([3], стр. 248). Иногда табличный участок исключают, тогда в точке пересечения линейного и логарифмического участков функция получается негладкой. Существуют также приближенные формулы, аппроксимирующие всю функцию  $u^+$ , например формула Рейхардта, но здесь мы будем использовать следующую аппроксимацию из трех участков:

$$u^+ = \begin{cases} y^+ & \text{при } y^+ < 2 \\ \text{табличная} & \text{при } 2 < y^+ < 60 \\ \text{функция} & \\ 2.5 \ln\left(\frac{y^+}{0.13}\right) & \text{при } y^+ > 60 \end{cases} \quad (2)$$

При значениях  $y^+ < 2$  решение находится аналитически, при значениях, соответствующих табличному участку, — интерполяцией при помощи табличных значений (в данном случае используется кубический сплайн), а на логарифмическом участке — методом Ньютона. Аргументом является интеграл от  $u^+$  равный:

$$F(y_1^+) = \int_0^{y_1^+} u^+ dy^+ = \frac{Uy_1}{\nu}$$

Численное интегрирование  $u^+$  показывает, что трем интервалам значений  $y^+$  из формулы (2) соответствуют следующие три интервала значений  $F$ :

$$\begin{array}{ll} y^+ < 2 & F < 2 \\ 2 < y^+ < 60 & 2 < F < 696.68 \\ y^+ > 60 & F > 696.68 \end{array}$$

### 2.1 Вязкий подслој ( $F < 2$ )

$$Uy_1 = \int_0^{y_1} u(y)dy = \nu \int_0^{y_1^+} u^+(y^+)dy^+ = \nu \int_0^{y_1^+} y^+ dy^+ = \nu \frac{y_1^{+2}}{2}$$

$$y_1^+ = \sqrt{\frac{2Uy_1}{\nu}} = \sqrt{2F}$$

### 2.2 Табличный участок ( $2 < F < 696.68$ )

Для построения  $y^+$  как функции  $F$  нам потребуются значения функции и аргумента в табличных точках, кроме того полезно знать производную, которая равна:

$$\frac{dy^+}{dF} = \frac{1}{u^+}$$

Численное интегрирование универсальной функции  $u^+$  дает следующие значения:

Таблица 1

$F$	2.	7.89	17.183	29.276	43.97	142.7	401.79	696.68
$y^+$	2.	4.	6.	8.	10.	20.	40.	60.
$dy^+/dF$	0.5	0.256	0.185	0.149	0.125	0.0851	0.0706	0.0652

### 2.3 Логарифмический участок ( $F > 696.68$ )

$$u^+ = 2.5 \ln\left(\frac{y^+}{0.13}\right)$$

$$F = \int u^+ dy^+ = 2.5 y^+ \left( \ln\left(\frac{y^+}{0.13}\right) - 1 \right) + C$$

Из условия стыковки с табличной функцией на предыдущем интервале можно определить константу  $C$ , которая оказывается равна -73.50481.

Далее берем в качестве начального значения  $y^+ = 60.$  и применяем метод касательных Ньютона:

$$y_{i+1}^+ = y_i^+ + \frac{F - F_i}{u_i^+}$$

Опыт показывает, что 5 итераций практически всегда достаточно.

### 3. Применение в численном методе

Зная параметр  $u_\tau$ , мы можем найти касательное напряжение трения на поверхности тела.

$$\tau = u_\tau^2 \rho$$

В простейшем случае к этому сводится все применение пристеночных функций. То есть, пристеночные функции используются только как особый метод вычисления поверхностного трения и зависящего от него потока импульса через поверхность тела. Все остальные расчеты, включая моделирование турбулентности, производятся так же, как и без пристеночных функций. Пристеночные функции можно сочетать с любыми способами моделирования турбулентности, включая модель Спаларта-Аллмараса, модель k-ε и метод крупных вихрей (LES).

### 4. Примеры расчетов

С целью проверки метода произведена серия тестовых расчетов. Во всех случаях использовался алгоритм, описанный в статье [3], модифицированный под рассматриваемые задачи.

#### 4.1 Сравнение модели Спаларта-Аллмараса с пристеночными функциями и без них

Решалась классическая задача об обтекании плоской пластины, которая служит стандартным тестом для модели турбулентности Спаларта-Аллмараса. Число Маха  $M = 0.2$  Число Рейнольдса  $Re = 5 \cdot 10^6$  относительно единицы длины.

Длина пластины  $L=2$ , размер счетной области в направлении, перпендикулярном пластине  $H=1$ , расстояние между передней границей области и началом пластины  $B=0.33$

Использовались четыре сетки, отличающиеся толщиной ближайшей к пластине ячейки. В таблице приведены размеры ячеек и соответствующие им значения  $y^+$ , вычисленные с применением метода пристеночных функций на расстоянии  $x=1$  от начала пластины.

Таблица 2

	Размер ячейки	$y^+$
Сетка 1	$8.32003 \cdot 10^{-6}$	1.5
Сетка 2	$2.49257 \cdot 10^{-4}$	45
Сетка 3	$4.06325 \cdot 10^{-4}$	72
Сетка 4	0.00107868	203

На каждой сетке расчеты были произведены с использованием модели Спаларта-Аллмараса с пристеночными функциями, и модели Спаларта-Аллмараса в чистом виде.

На сетке 1 результаты расчетов двумя методами практически полностью совпали. На сетках 2, 3 и 4 "чистая" модель Спаларта-Аллмараса давала все большее отклонение от сетки 1 по мере огрубления, а метод пристеночных функций оставался вблизи результатов, полученных на сетке 1, отклоняясь от них в точке  $x=1$  не более, чем на 10%.

На рис. 1 приведены графики коэффициента трения, полученные в этих расчетах.

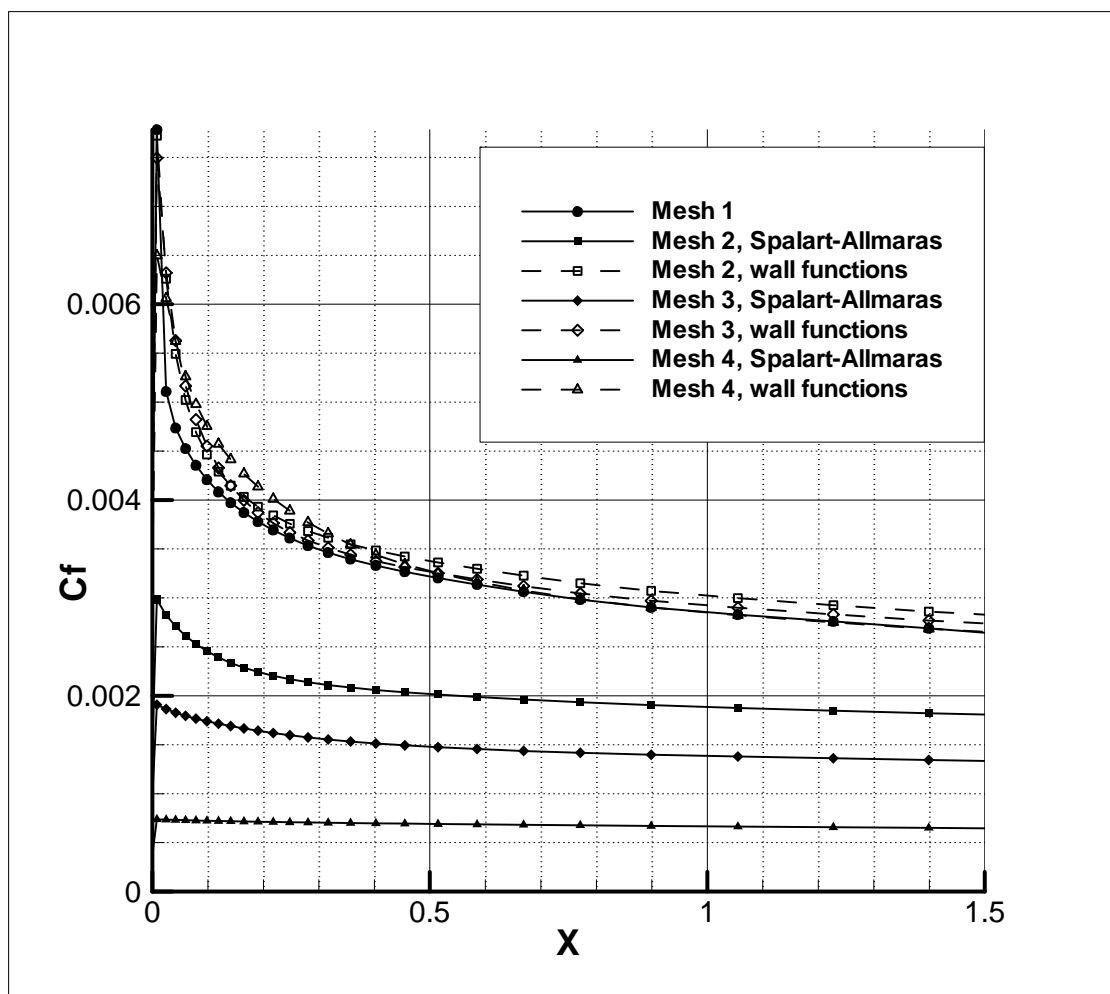


Рис. 1. Сравнение расчетов обтекания плоской пластины.

#### 4.2 Обтекание плоской пластины — сравнение с экспериментом

Произведено сравнение с классическими экспериментами, выполненными в Германии в 1944 г. и известными по английскому переводу [2].

Из работы [2] выбрано два эксперимента. В одном из них скорость набегающего потока  $u = 17.8$  м/с ( $M=0.059$ ,  $Re=1.079 \cdot 10^6$ ). В другом  $u = 33$  м/с



( $M=0.1$ ,  $Re=2 \cdot 10^6$ ). Числа Рейнольдса относительно единицы длины. Длина пластины  $L = 5$  м.

В основном расчете использовалась сетка с минимальным размером ячеек 0.003 по  $y$  и 0.229 по  $x$ . Расчеты, использующие модель Спаларта-Аллмараса с применением пристеночных функций показали хорошее совпадение с экспериментом как по коэффициенту трения (рис. 2 и 3), так и по профилю скоростей (рис. 4). Значения  $y^+$  лежат от 170 в контрольной точке  $x=5$  до 270 в начале пластины. Пунктирной линией с ромбами на графике для  $u = 33$  м/с показан расчет с "чистой" моделью Спаларта-Аллмараса без пристеночных функций, который на данной сетке не дает совпадения с экспериментом.

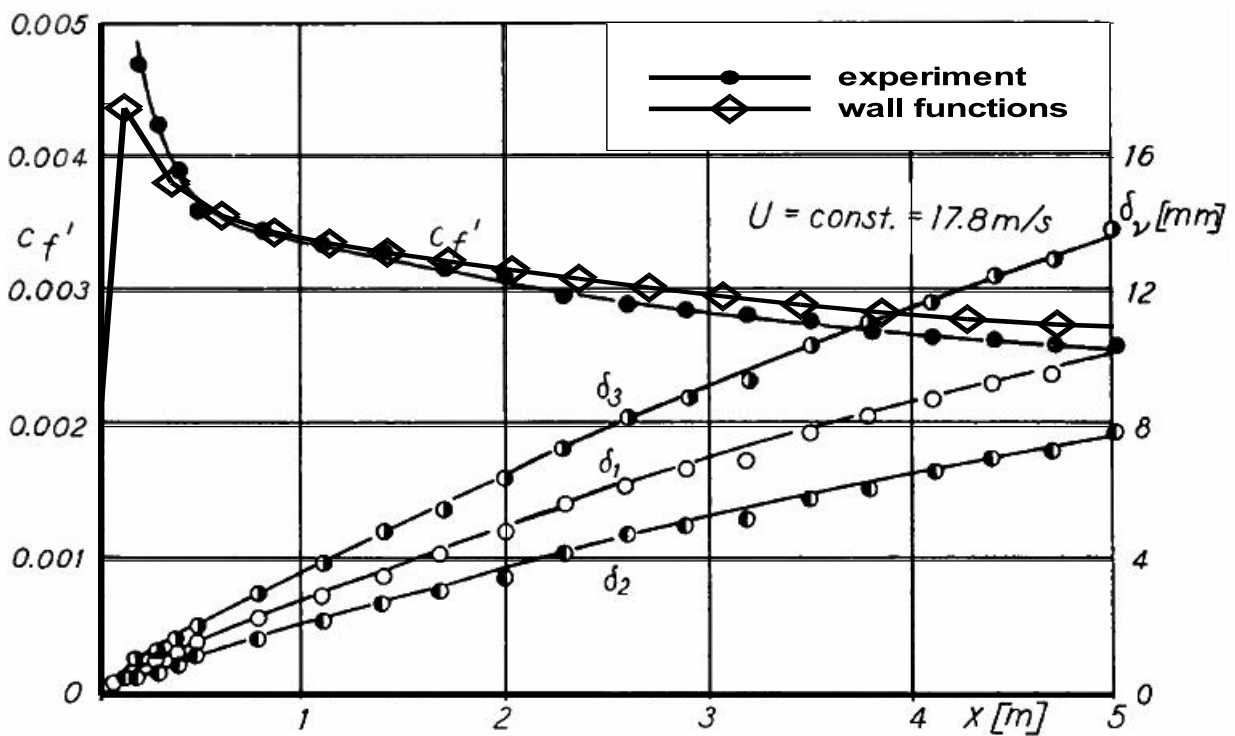


Рис. 2. Сравнение с экспериментом — коэффициент трения,  $M=0.059$

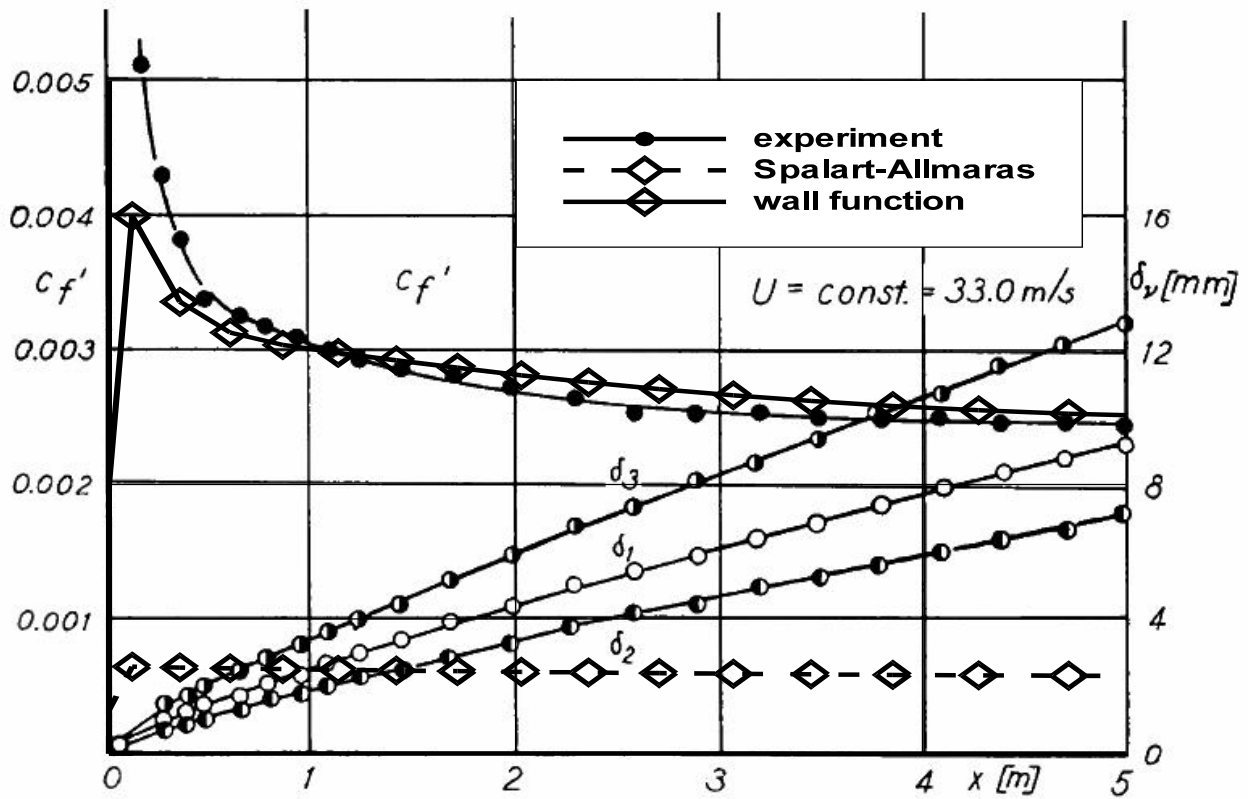


Рис. 3. Сравнение с экспериментом — коэффициент трения,  $M=0.1$

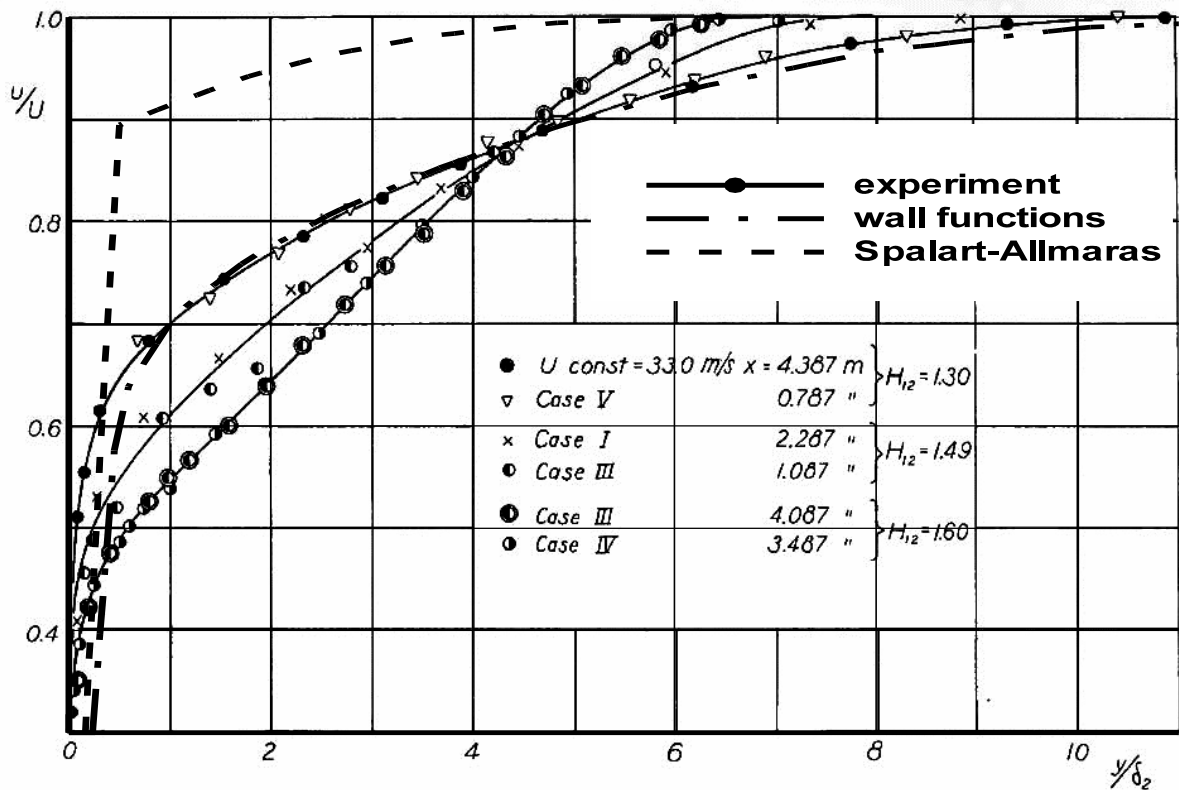


Рис. 4. Сравнение с экспериментом — профиль скоростей,  $M=0.1$

Вместе с тем необходимо отметить, что измельчение сетки по  $x$  может приводить к неожиданному эффекту: на начальном участке  $C_f$  появляется немонотонность. Однако, в дальнейшем кривая выходит к правильным значениям.

Это связано с тем, что в области формирования пограничного слоя его толщина оказывается меньше или сравнима с размером ячейки. Влияние неправильного решения распространяется вниз по потоку и приводит к ошибкам даже там, где погранслоем уже достаточно толстый.

В дальнейшем кривая возвращается к правильным значениям, но для этого может потребоваться довольно большое расстояние.

Огрубление сетки по  $x$  позволяет избежать такого эффекта, поскольку в этом случае большая часть первой ячейки лежит в области достаточно толстого погранслоя. На рис. 5 показаны в сравнении два расчета: тот же, что и на рис. 3 и 4 (сетка 1) и с измельченной по  $x$  сеткой (минимальный размер ячейки 0.00285, сетка 2).

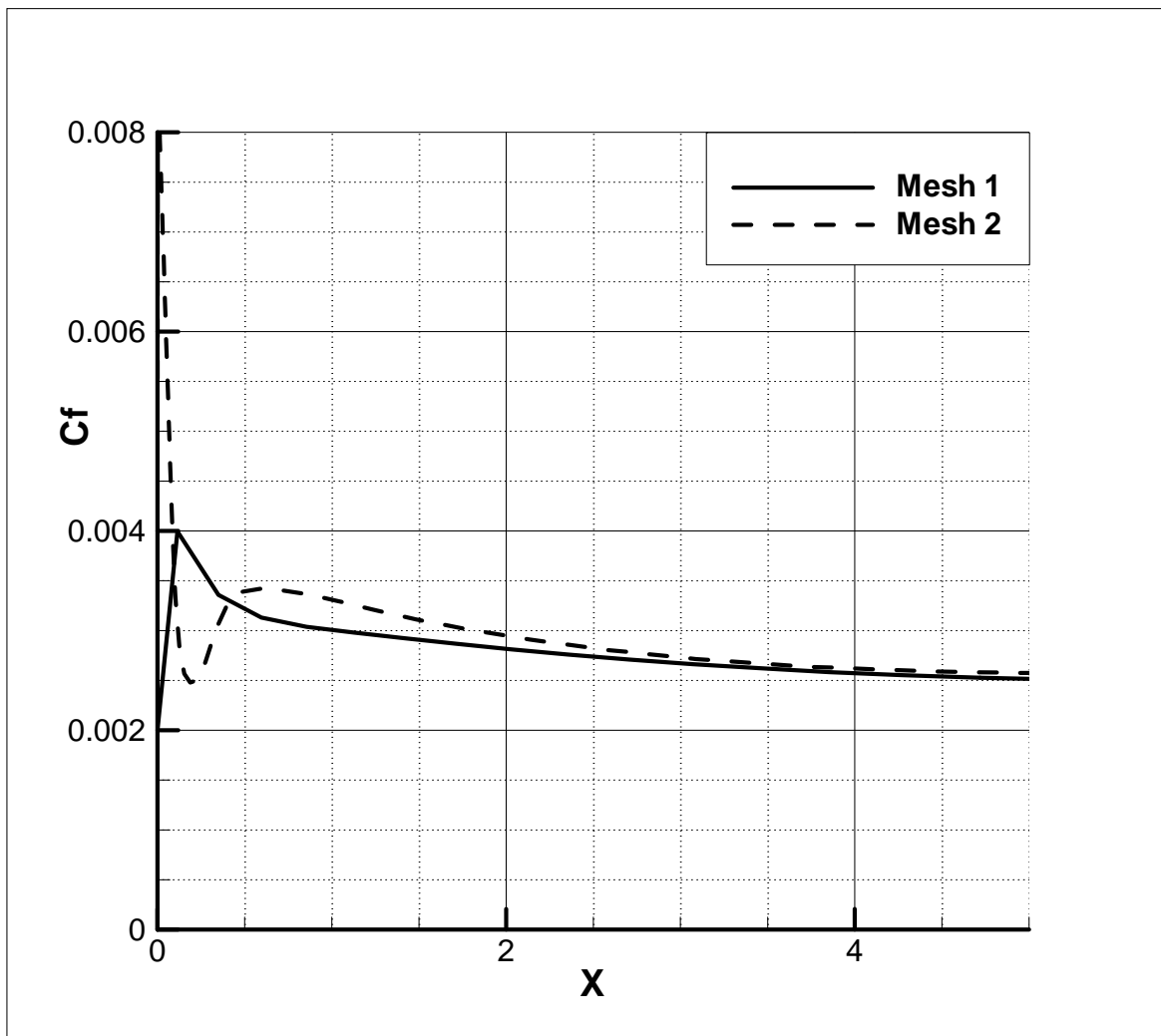


Рис. 5. Эффект немонотонности при измельчении сетки по  $x$ .

### 4.3 Обратный уступ

Выполнен расчет обтекания обратного уступа, которое ранее было рассчитано по модели Спаларта-Аллмараса. Число Маха  $M=1.1$ , число Рейнольдса относительно единицы длины  $Re=5 \cdot 10^6$ , высота уступа  $h=0.0892$ , протяженность стенки перед уступом  $L=1$ .

Сравнение результатов с "чистой" моделью Спаларта-Аллмараса показывает, что качественно структура течения не изменилась и осталась вполне правдоподобной, но применение пристеночных функций приводит к существенным количественным различиям: сильно уменьшается трение перед уступом, уменьшается размер зоны циркуляционного течения.

На рис. 6 приведены значения коэффициента трения, вычисленные двумя методами, на рис. 7 — распределение относительной скорости для метода пристеночных функций.

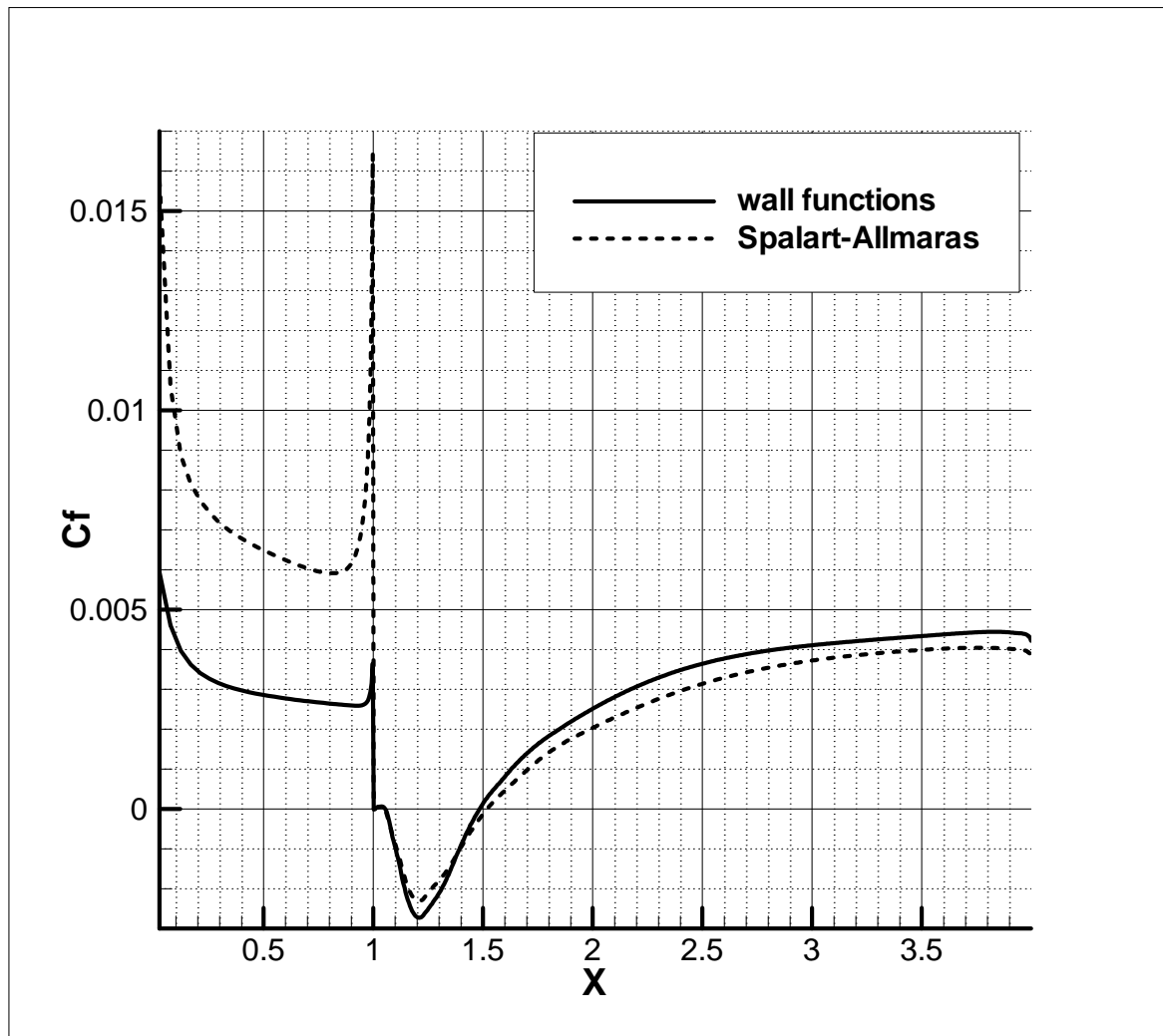


Рис. 6. Уступ — коэффициенты трения.

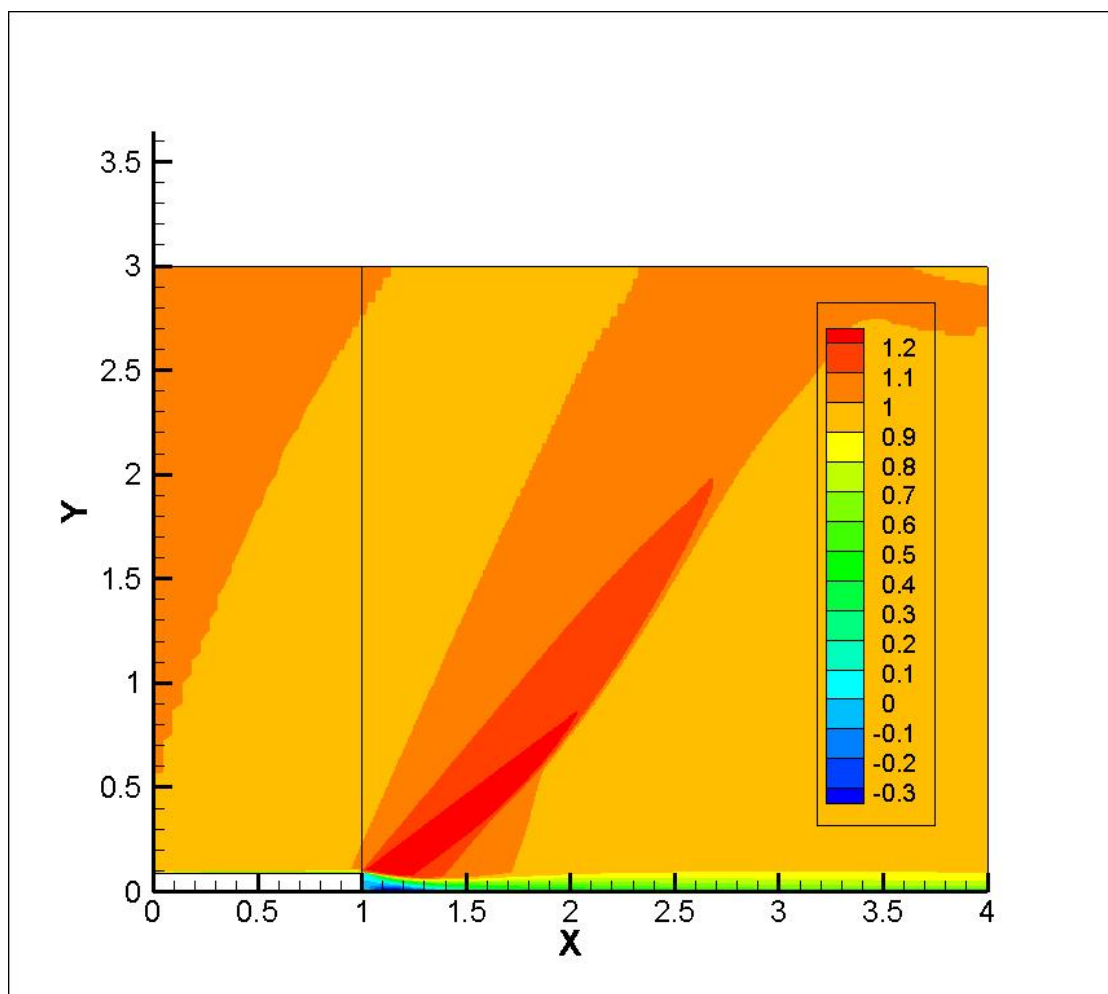


Рис. 7. Уступ — относительная скорость  $U/U_\infty$ .

#### 4.4 Обратный уступ — формула Смагоринского

Для сравнения разных методов моделирования турбулентности произведен расчет того же обратного уступа, что и в разделе 4.3 с моделированием крупных вихрей по формуле Смагоринского ([5], стр. 55). Выполнено два варианта расчета — с пристеночными функциями и без них.

Для вычисления турбулентной вязкости применялась формула:

$$\mu_\tau = \rho l_m^2 |\overline{S}|,$$

где  $S$  — тензор скоростей деформаций,

$$l_m = \min(C_{LES}\Delta, \kappa y),$$

где  $C_{LES} = 0.17$ ,  $\Delta$  — характерный размер ячейки,  $\kappa$  — константа Кармана,  $y$  — расстояние до поверхности.

Для того, чтобы исключить попадание вихрей на заднюю границу, размеры области увеличены с  $4 \times 3$  до  $17 \times 8.5$

На рис. 8 и 9 приведены относительная скорость и давление для "чистого" LES, на рис. 11 и 12 — для LES с пристеночными функциями.

В обоих случаях зона циркуляции за уступом сильно увеличилась и течение стало нестационарным. Но несколько крупных вихрей вблизи уступа остаются стабильными, причем один из них имеет сильно вытянутую форму, что выглядит неправдоподобно. (Рис. 10) Эта проблема имеет место как в "чистом" LES, так и в LES с пристеночными функциями.

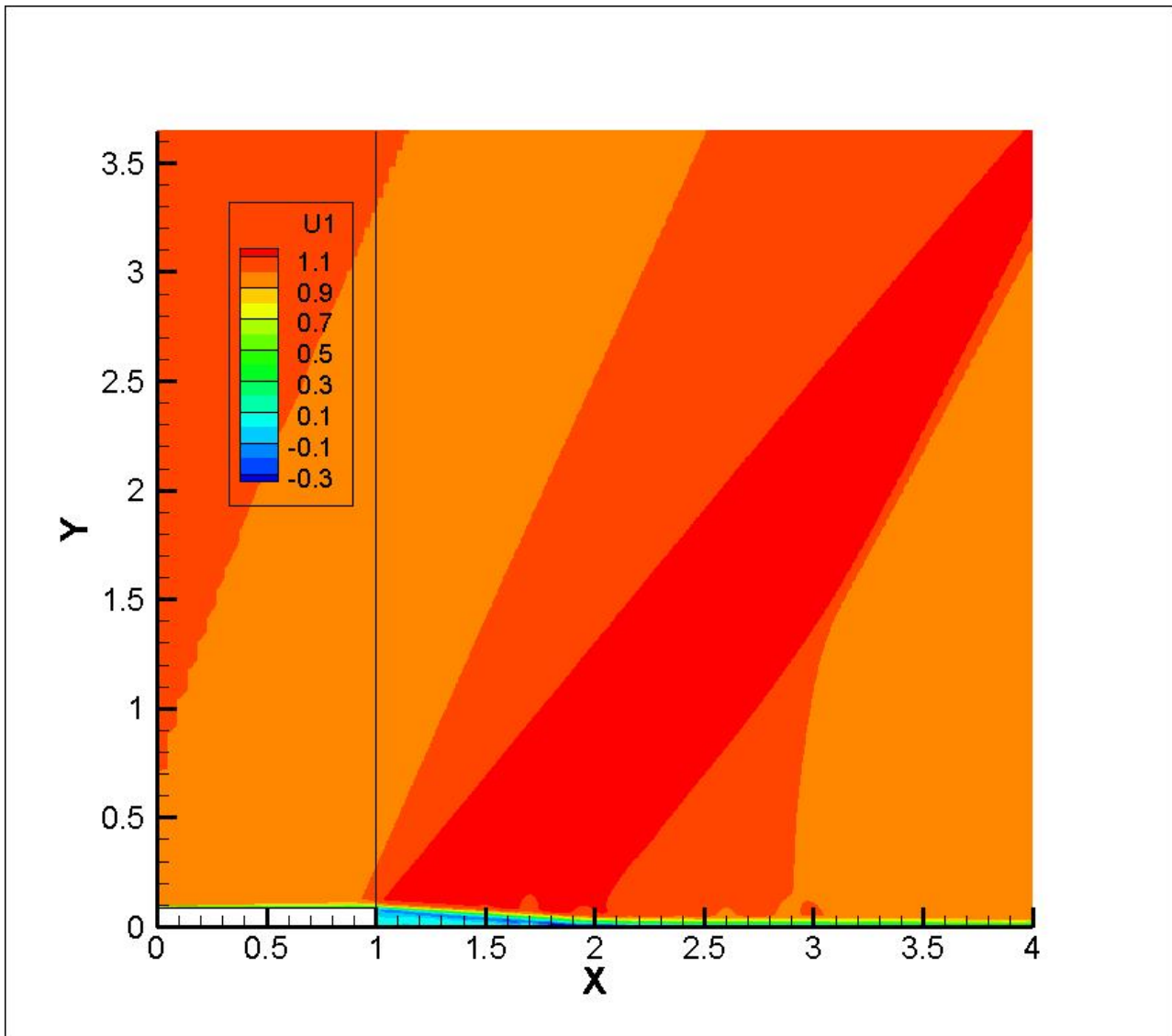


Рис. 8. Уступ, метод LES — относительная скорость  $U/U_\infty$ .

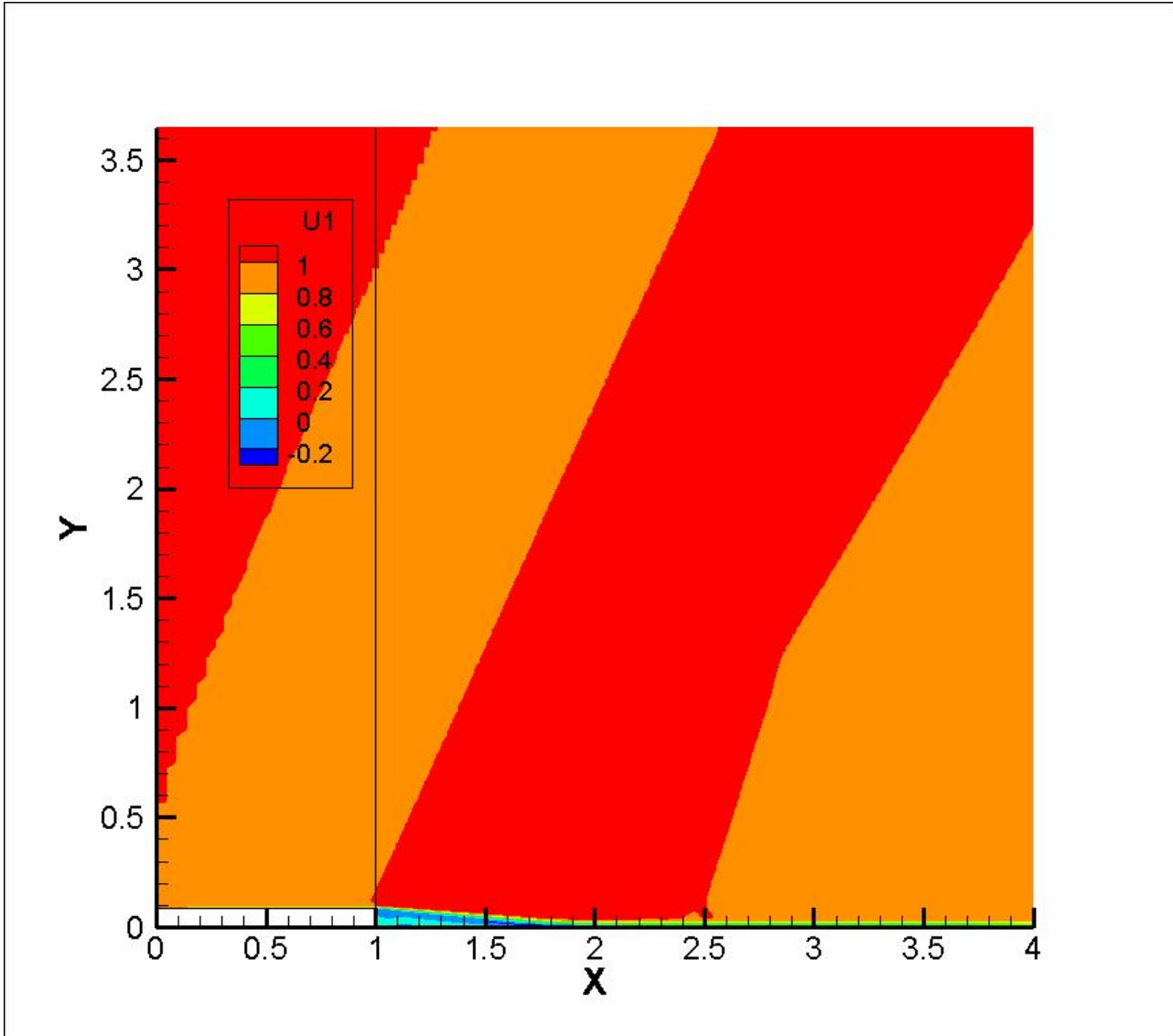


Рис. 9. Уступ, метод LES с пристеночными функциями — относительная скорость  $U/U_\infty$ .

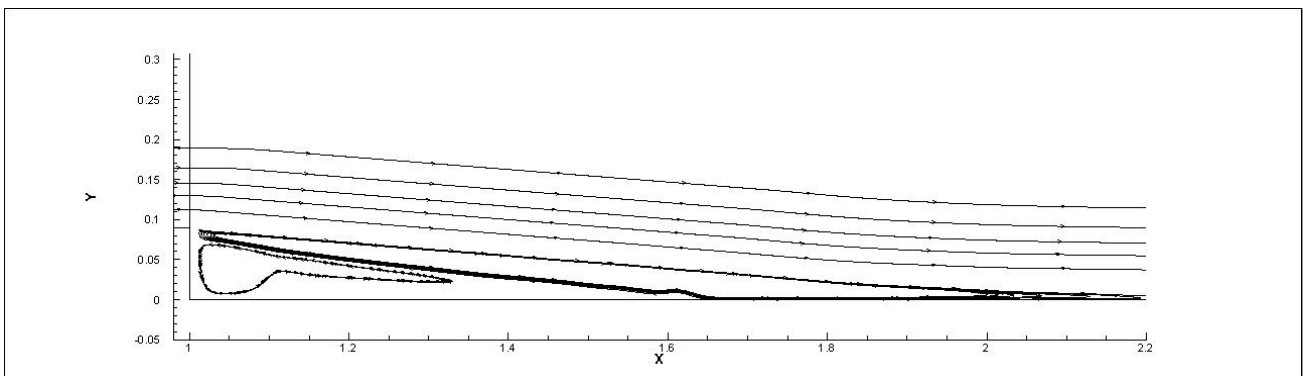


Рис. 10. Уступ, метод LES с пристеночными функциями, линии тока.

#### 4.5 Обратный уступ — метод DES

Выполнен расчет обратного уступа из разделов 5.3 и 5.4 методом DES, полученным из модели Спаларта-Аллмараса путем замены расстояния до поверхности на гибридный линейный масштаб  $l_m$ , вычисляемый так же, как и в предыдущей задаче, для метода LES. ([6], стр. 64) Константа модели выбрана  $C_{DES}=0.2$

В расчете использовались пристеночные функции, расчет методом DES без пристеночных функций не проводился.

Вихри стали более сильными. Это можно видеть хотя бы из того, что минимум скорости теперь  $-0.5$  вместо  $-0.2$ . Продольный размер вихрей уменьшился (рис. 12), появилась характерная цепочка вихрей, срывающаяся с уступа.

Но совпадение с экспериментом по-прежнему остается плохим. Хотя это можно объяснить трехмерными эффектами, нельзя сделать однозначный вывод о преимуществе какого-либо из методов.

На рис. 13 и 14 приведены сводные графики коэффициентов трения и давления для расчетов из разделов 4.3 – 4.5. Данные методов LES и DES усреднены по времени. На рис. 14, кроме того, нанесены данные эксперимента.

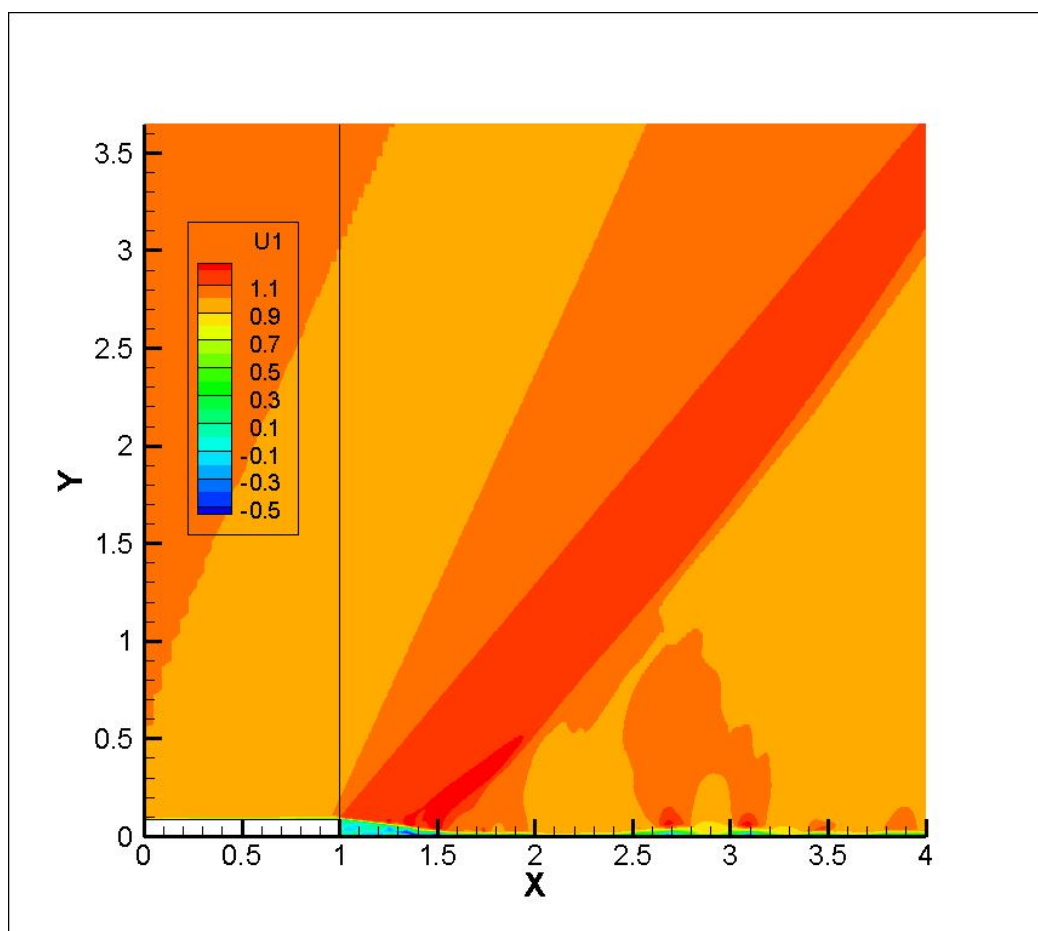


Рис. 11. Уступ, метод DES с пристеночными функциями — относительная скорость  $U/U_\infty$ .



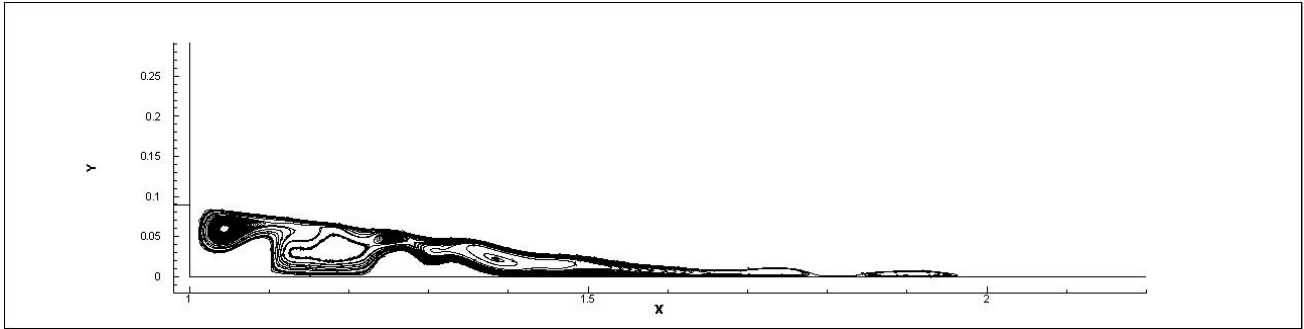


Рис. 12. Уступ, метод LES с пристеночными функциями, линии тока.

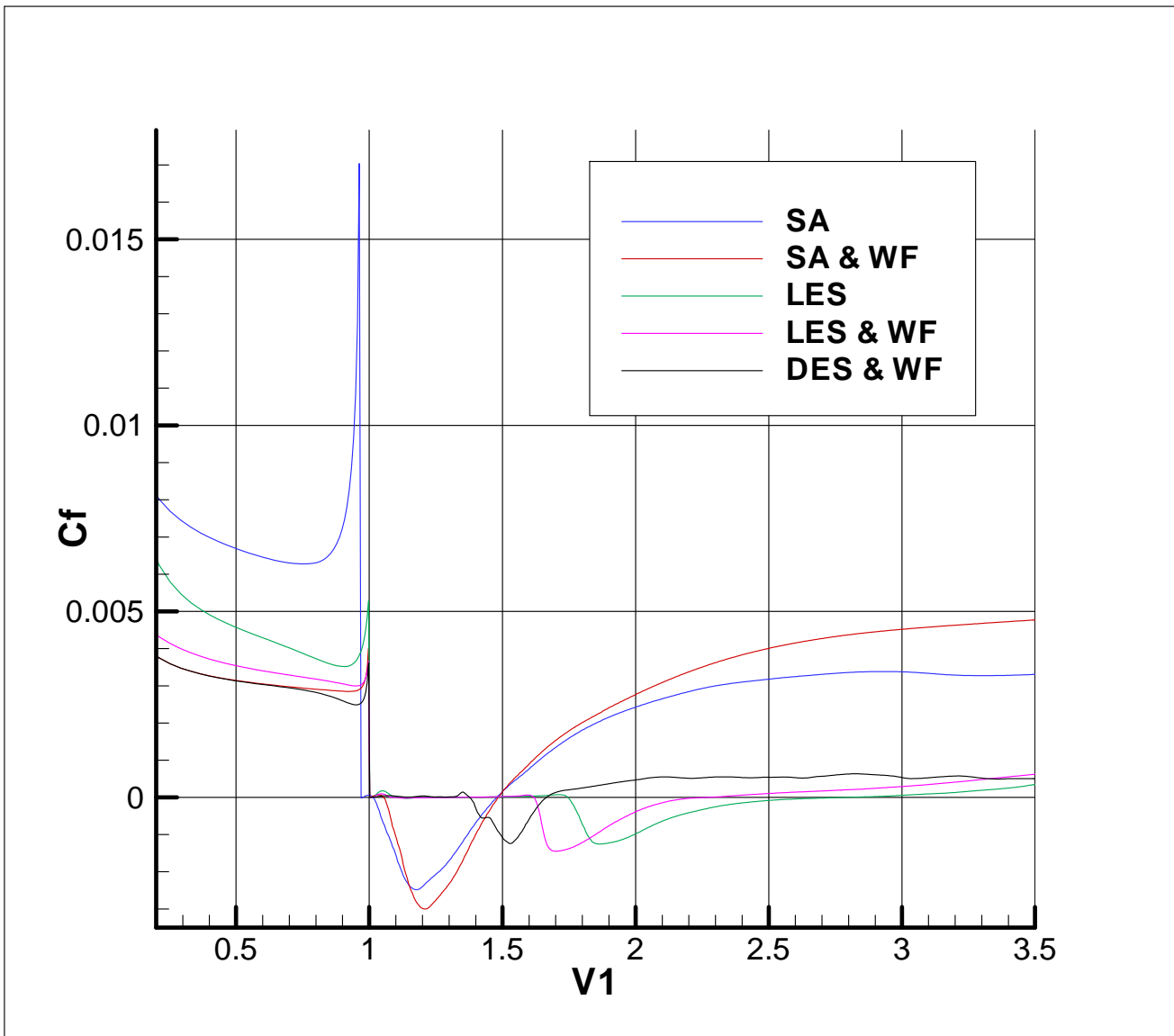


Рис. 13. Уступ, коэффициент трения, сравнение методов.

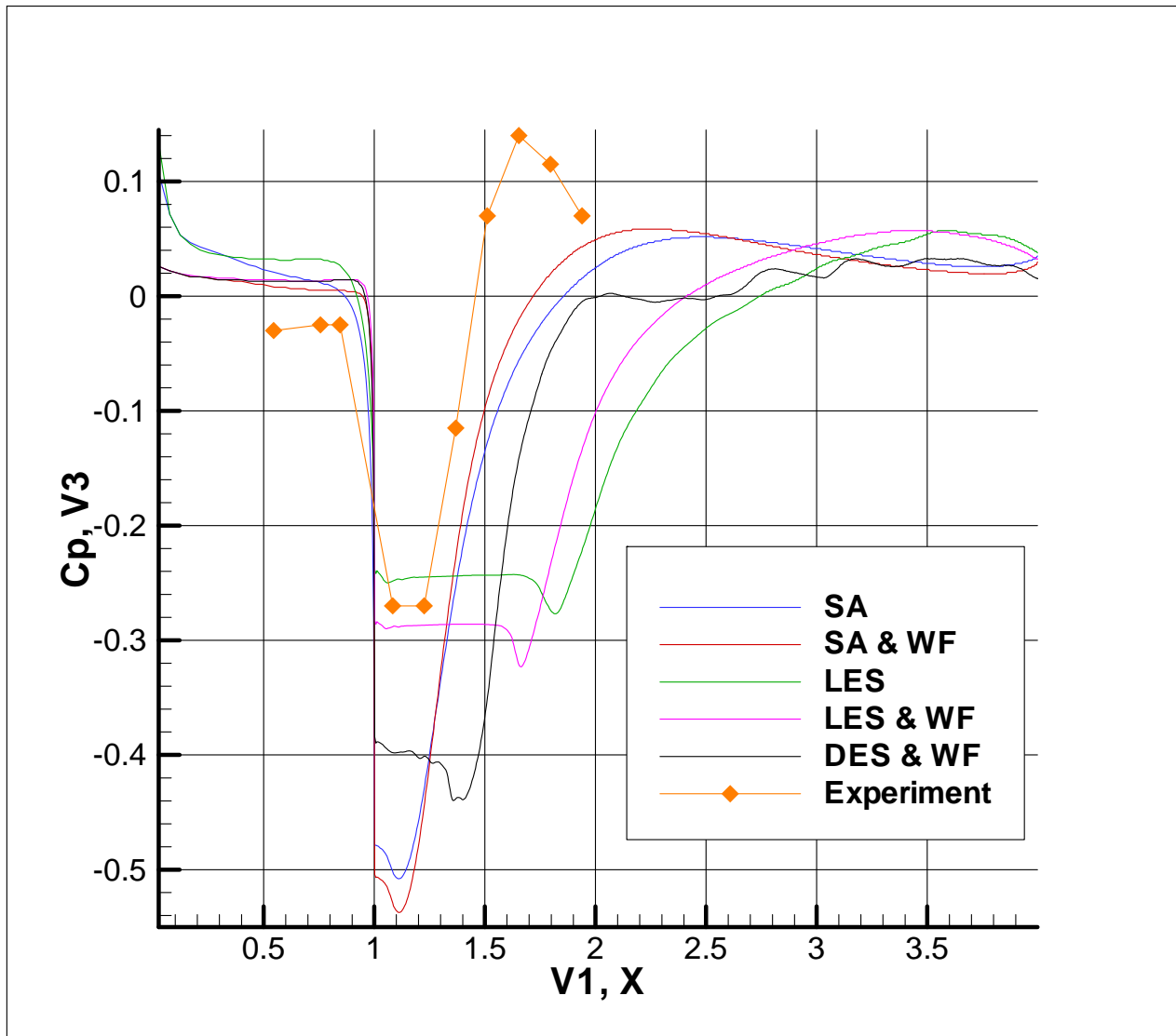


Рис. 14. Уступ, коэффициент давления, сравнение методов.

#### 4.6 Обратный уступ в канале

Для сравнения с экспериментом выполнен расчет обратного уступа в канале. Условия задачи и экспериментальные данные взяты с сайта NASA [7]. Расчет выполнялся по модели Спаларта-Аллмараса с применением пристеночных функций.

Число Маха  $M=0.128$ , число Рейнольдса (относительно единицы длины)  $Re=36000$ , высота уступа  $H=1$ , ширина канала перед уступом  $A=8$ , длина канала перед уступом  $B=110$ .

На рис. 15 показано общее распределение скорости, на рис. 16 дано то же поле вблизи уступа. На рис. 17 дано сравнение вычисленного коэффициента поверхностного трения с экспериментом.

Удалось добиться лишь приблизительного совпадения с экспериментом. Даже перед уступом вычисленное трение существенно отличается от экспериментального, хотя в предыдущих задачах пограничный слой на плоской поверхности моделировался с хорошей точностью. По-видимому, это связано с

тем, что в этой дозвуковой задаче требуются специальные граничные условия. Во всей области, даже при  $x < -110$ , то есть еще до входа в канал, давление оказалось выше, чем давление набегающего потока  $P_\infty = 1$ .

На сайте NASA рекомендуется зафиксировать давление на задней границе на уровне  $P = 1.011$ . Приведенные результаты получены с учетом этой рекомендации. Но если слегка изменить это значение, начинает перестраиваться решение во всей области. Детальное исследование влияния этого граничного условия должно стать предметом отдельного исследования.

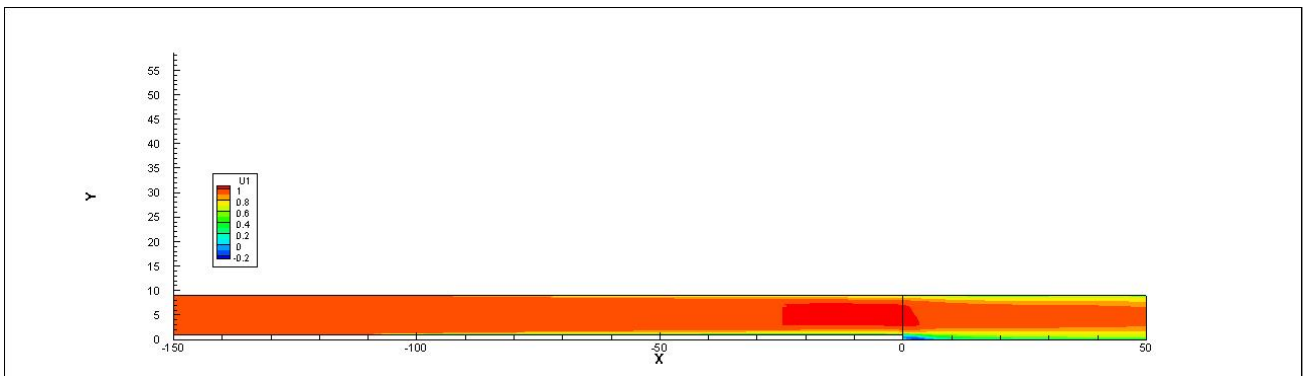


Рис. 15. Уступ в канале, относительная скорость  $U/U_\infty$ , общий вид.

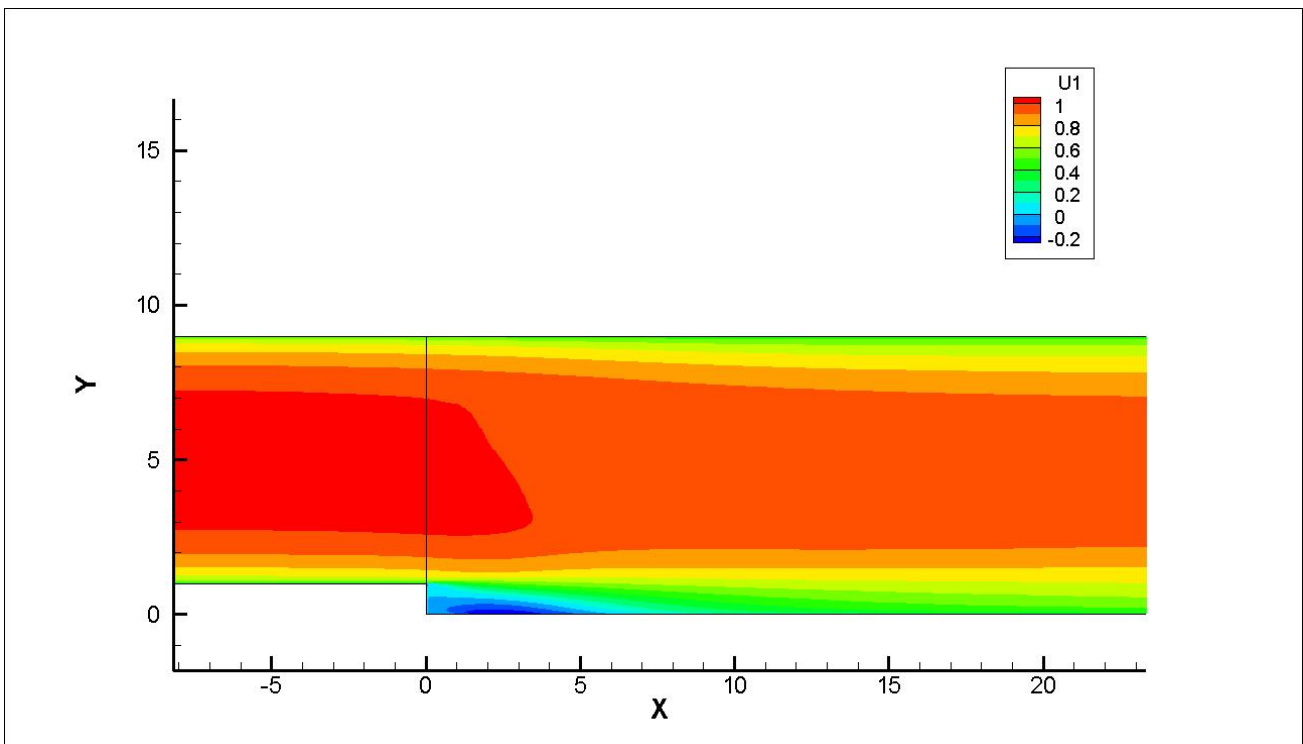


Рис. 16. Уступ в канале, относительная скорость  $U/U_\infty$ , вблизи уступа.

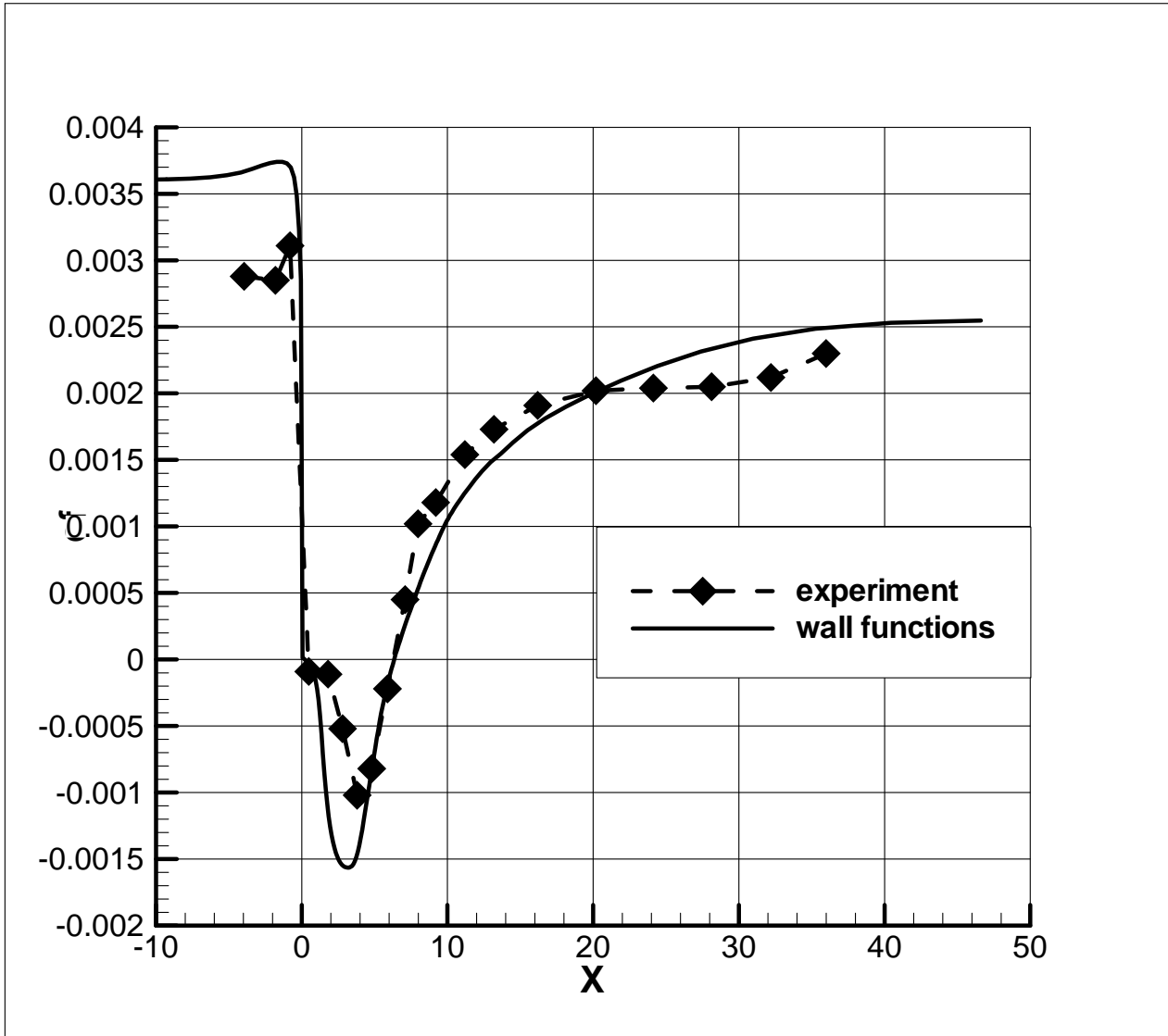


Рис. 17. Уступ в канале, коэффициент трения, сравнение с экспериментом.

#### 4.7 Обтекание профиля

Выполнен расчет обтекания профиля RAE 2822 с использованием модели турбулентности Спаларта-Аллмараса без пристеночных функций и с ними.

Число Маха  $M = 0.729$ , угол атаки  $\alpha = 2.31^\circ$ , статическое давление  $P = 28263.73$  Па, статическая температура  $T = 226$  К.

На рис. 18 показано распределение давления. На рис. 19 можно видеть сравнение коэффициентов  $C_p$  определенных экспериментально [8], рассчитанных с использованием модели Спаларта-Аллмараса без пристеночных функций и с пристеночными функциями. Видно, что положение замыкающего скачка уточнить не удалось, но значения коэффициентов давления перед скачком значительно ближе к эксперименту.

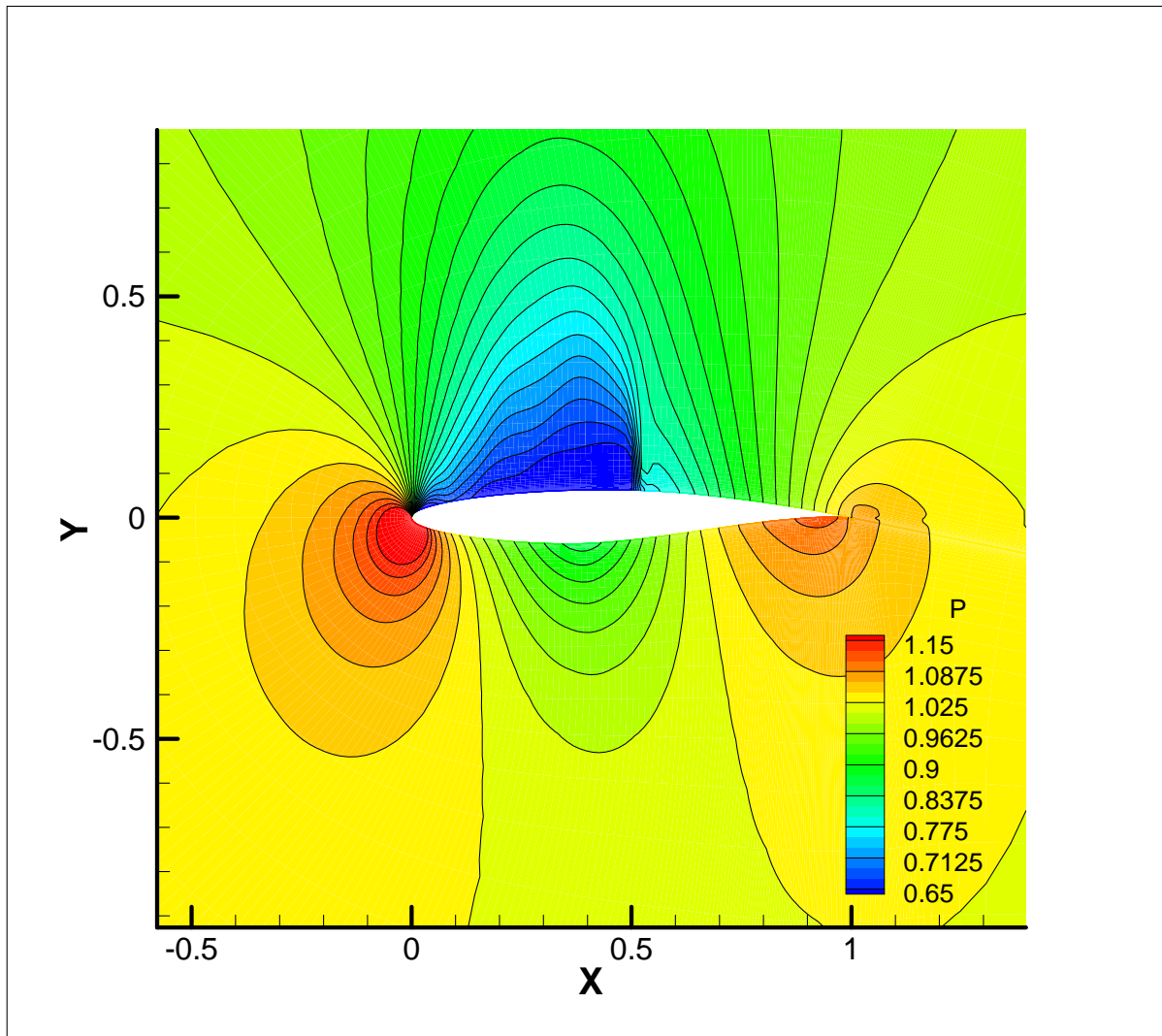


Рис. 18. Профиль RAE 2822, давление.

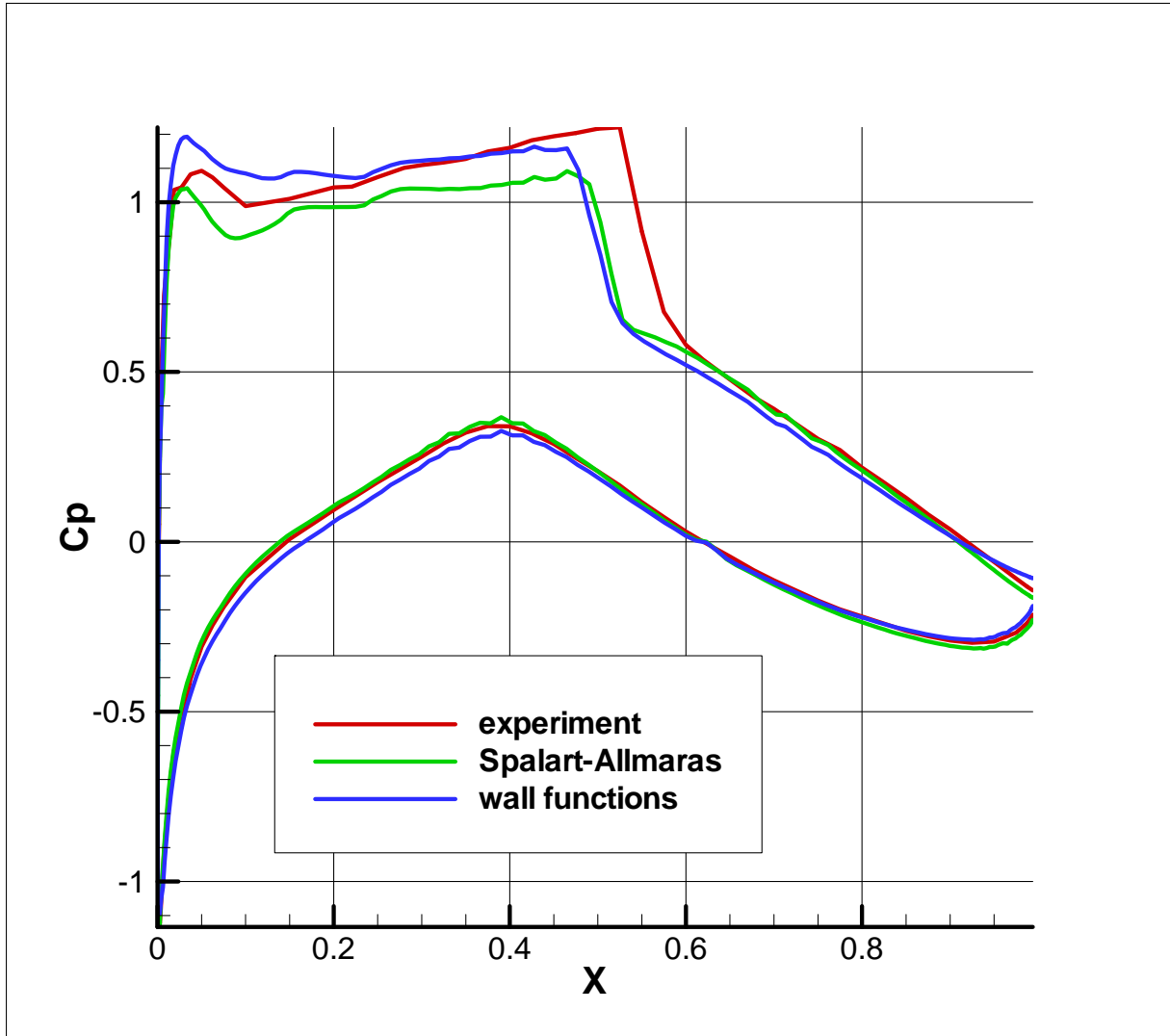


Рис. 19. Профиль RAE 2822, коэффициент давления  $C_p$ .

## 5. Выводы

1. В ряде случаев применение пристеночных функций позволяет существенно увеличить точность расчетов.
2. Необходимы дальнейшие исследования для течений с развитым отрывом.

## 6. Литература

1. Knopp T. On grid-independence of RANS predictions for aerodynamic flows using model-consistent universal wall-functions // European Conference on Computational Fluid Dynamics ECCOMAS CFD 2006.
2. Wiegardt K., Tillmann W. On the turbulent friction layer for rising pressure // National Advisory Committee for Aeronautics, Technical memorandum 1314, Washington, October 1951.
3. Ландау Л.Д., Лифшиц Е.М. Теоретическая физика // Учебное пособие. В 10 т. Т. VI. Гидродинамика. М. Наука. 1986.
4. Кудряшов И. Ю., Луцкий А. Е., “Адаптация кода для расчета течений вязких жидкостей под гибридные вычислительные системы на базе технологий CUDA-MPI” // Матем. моделирование, **24**:7 (2012), 33–44.
5. Снегирев А.Ю. Высокопроизводительные вычисления в технической физике. Численное моделирование турбулентных течений // Учеб. пособие. СПб.: Изд-во Политехн. ун-та, 2009.
6. Гарбарук А.В., Стрелец М.Х., Шур М.Л. Моделирование турбулентности в расчетах сложных течений // Учеб. пособие. СПб: Изд-во Политехн. ун-та, 2012.
7. URL: [http://turbmodels.larc.nasa.gov/backstep\\_val.html](http://turbmodels.larc.nasa.gov/backstep_val.html)
8. Cook P.H., McDonald M.A., Firmin M.C.P. Aerofoil RAE 2822 — Pressure Distributions, and Boundary Layer and Wake Measurements // Experimental Data Base for Computer Program Assessment, AGARD Report AR 138, 1979.

## Приложение: исходный текст подпрограммы

Данный вариант метода пристеночных функций можно реализовать в виде короткой подпрограммы-функции, требующей всего четыре входных параметра. Это скорость  $u$ , то есть касательная к поверхности составляющая скорости, плотность  $\rho_0$ , молекулярная вязкость  $\nu$  и расстояние от центра ячейки до поверхности тела  $y$ . Функция возвращает касательное напряжение поверхностного трения, которое должно быть направлено в сторону, противоположную вектору скорости. Ниже приводится исходный текст функции на языке Fortran.

C Wall-function

C u - velocity, ro - density, nu - molecular viscosity,

C y - distance to the surface

C Return the friction force.

```
function twf(u,ro,nu,y)
```

```
real *8 twf, u, ro, nu, y, q
```

```
real *8 a, ksi, dksi, tqm, lgksi
```

```
real *8 tksi(8), tq(8), der(8)
```

```
real *8 d0, d1, dq
```

```
integer sign
```

```
data tksi /2., 4., 6., 8., 10., 20., 40., 60./
```

```
data tq /2., 7.89, 17.183, 29.276, 43.97, 142.7,  
* 401.79, 696.68/
```

```
data der /0.5, 0.256, 0.185, 0.149, 0.125, 0.0851,  
* 0.0706, 0.0652/
```

```
q=2.*u*y/nu
```

```
tqm=-73.50481
```

```
sign=1
```

```
if (q.lt.0.) then
```

```
q=-q
```

```
sign=-1
```

```
endif
```

```
if (q.le.tq(1)) then
```

```
ksi=dsqrt(2.*q)
```

```
else
```

```
if (q.le.tq(8)) then
```

```
i=1
```



```

1      i=i+1
      if (q.gt.tq(i)) go to 1
      i0=i-1
      d0=q-tq(i0)
      d1=tq(i)-q
      d0=d0*d0
      d1=d1*d1
      dq=d0+d1
      ksi=((tksi(i0)+d0*der(i0))*d1+(tksi(i)-
* d1*der(i))*d0)/dq
      else

      ksi=tksi(8)

      do i=1, 5
      lgksi=dlog(ksi/0.13)
      a=2.5*ksi*(lgksi-1.)+tqm
      dksi=(q-a)/2.5/lgksi
      ksi=ksi+dksi
      enddo

      endif
      endif

      vs=ksi*nu/y/2.
      twf=vs*vs*ro*sign

      return
      end

```